

리튬 2차 전지용 고용량 스피넬계 양극물질 연구

홍기주, 선양국

한양대학교 응용화학공학부

A study on the Spinel phase cathode materials with high capacity for lithium secondary batteries

Ki Joo Hong, Yang Kook Sun

Department of applied chemistry, Hanyang university.

Abstract

As 3V cathode material, a new doping spinel material, LiMn_{1.6}Se_{0.4}O₄ powder with a phase-pure polycrystalline was synthesized by a sol-gel method. In spite of Jahn-teller distortion in 3V region(2.4~3.5V), the LiMn_{1.6}Se_{0.4}O₄ electrode shows no capacity loss. The material in the 3V region initially delivers a discharge capacity of 100mAh/g which increase with cycling to reach 105mAh/g after 90cycles. And 5V cathode material LiNi_{0.5-x}M_xMn_{1.5}O₄ (M=Cr, V, Fe) compounds have been synthesized by sol-gel method. a series of electroactive spinel compounds, LiNi_{0.5-x}M_xMn_{1.5}O₄ (M=Cr, V, Fe) has been studied by crystallographic and electrochemical methods. The material presents only one plateau at around 4.5 V vs. Li/Li⁺ with a large discharge capacity of 152mAh/g and fairly good cyclability.

1. 서 론

리튬/고분자 battery는 현재 전기 자동차 및 휴대용 전기 장비등에 있어서 중요한 에너지 원으로서 연구되어지고 있다. 이러한 리튬 이차전지용 양극활물질 중 스피넬 구조를 가지는 LiMn₂O₄의 경우,

낮은 가격과 친환경적 특성 때문에 많은 연구가 진행되고 있으나, 리튬의 삽입-탈리에 의한 충·방전이 지속됨에 따라 급격한 용량감소를 보인다. 이를 방지하기 위하여 Mn³⁺ 양이온을 다른 전이금속으로 부분 치환시켜 기존 순수한 스피넬이 가지고 있던 결점인 사이클 특성을 향상하기 위한 연구가 수년간 진행되고 있다. 본 연구에서는 Mn 자리에 Selenium을 부분 치환하여, 3 V 영역에서의 Jahn-teller distortion 현상으로 인한 용량감소를 극복하고 사이클 특성을 향상시켰다.

전기 자동차와 같이 고 전력을 요구하는 전자에 스피넬 양극 활물질을 사용할 경우, 4.7 V 이상 고전위 영역에서의 가역적인 리튬의 삽입-탈리에 대한 연구가 J.R. Dahn 등에 의해 제안되었다. 5.3 V 이상의 전위영역으로 충전이 될 경우, 1mol의 리튬이 Li_{1+x}Mn_{2-x}O₄ 구조에서 가역적으로 탈리가 이루어진다. 그러나 순수한 스피넬의 경우 이러한 반응은 Mn⁴⁺ 이온이 Mn⁵⁺ 이온으로의 산화와 관련되기 때문에 비가역적인 반응을 초래하게 된다. 본 연구에서는 졸-겔법을 이용하여 니켈과 크롬이 멀티도핑된 스피넬 LiNi_{0.5-x}M_xMn_{1.5}O₄ (M=Cr, V, Fe) 양극활물질을 합성하였다. 본 실험에서 합성한 스피넬 LiCr_{0.1}Ni_{0.4}Mn_{1.5}O₄ 양극활물질의 경우 초기용량 150 mAh/g 이상의 높은 방전 용량과 우수한 수명 특성을 나타낸다.

2. 본 론

▶ 3 V 양극 활물질

Figure 1. X-ray diffraction patterns of the (a) LiSe_{0.4}Mn_{1.6}O₄, (b) LiMn₂O₄.

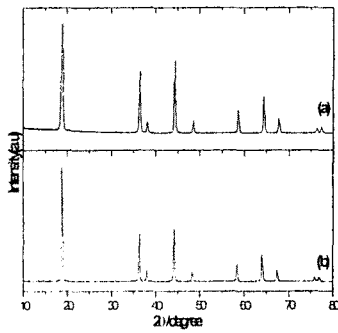


Fig 1.은 졸-겔법으로 합성된 $\text{LiSe}0.4\text{Mn}1.6\text{O}_4$ (fig 1(a)) 과 $\text{LiMn}2\text{O}_4$ (fig 1(b)) 양극 활물질의 X-선 회절분석 결과이다. 분석 결과, Selenium 도핑 합성 물질 $\text{LiSe}0.4\text{Mn}1.6\text{O}_4$ 은 결정성이 뛰어난 $\text{Fd}3\text{m}$ 스피넬 구조를 보였다. normal spinel $\text{LiMn}2\text{O}_4$ 와의 구조 비교 분석 결과 뚜렷한 차이점은 (311)/(400) peak의 intensity 비이다. 최근의 국외 보고에 따르면 (311) peak와 (400) peak 와의 intensity 비는 전지 성능에 있어서 중요한 역할을 한다고 한다. 이 같은 물리화학적 특성 연구 결과를 토대로 fig 2.에서 전기화학적 특성을 알아 보았다. 3 V 영역에도 불구하고, Selenium 도핑 활물질 fig 2(a) 는 90 사이클까지 초기 방전 용량 100mAh/g 을 100% 유지하였다. 이에 반해 도핑되지 않은 스피넬 fig 2(b) 는 사이클이 진행됨에 따라 급격한 용량 감소를 보이고 있다.

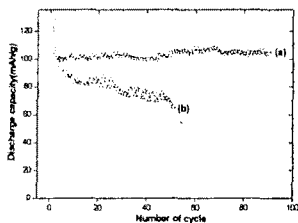
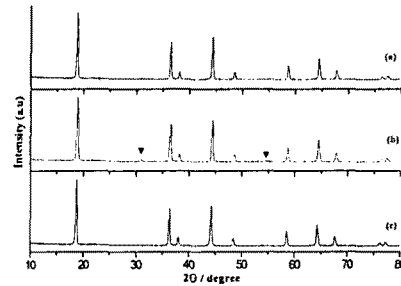


Figure 2. Variation of the specific discharge capacity with the number of cycles for (a) $\text{Li}1.06\text{Se}0.4\text{Mn}1.6\text{O}_4$ and (b) $\text{LiMn}2\text{O}_4$ in 2.4~3.5V.

▶ 5 V 양극 활물질

본 연구에서는 도핑제의 종류와 도핑량 변화에 따른 물리화학적 특성과 전기화학적 특성을 조사하였

다. Fig. 3 은 $\text{LiNO}_4\text{Mn}0.1\text{Mn}1.5-x\text{O}_4$ 스피넬 양극 활물질의 치환 전이금속 M 의 종류 변화에 따른 X 선 회절 분석 결과이다. 구조 분석결과, Ni-[Cr, V, Fe]가 멀티 도핑된 $\text{LiNO}_4\text{Mn}0.1\text{Mn}1.5-x\text{O}_4$



스피넬 Figure 3. X-ray diffraction patterns for $\text{LiMxNi}0.5-x\text{Mn}1.5\text{O}_4$ powders calcinated (a) $\text{Cr}0.1$, (b) $\text{V}0.2$, (c) $\text{Fe}0.1$ at 900°C in air for 15hr. 합성 물질은 fig. 3(b)에서 나타나는 조그만 피크(▼)를 제외하고 eight(111) plane에 의해 지지 되어지는 팔면체 구조들로 이루어진 큐비상의 순수 스피넬 구조이다. cell은 coin type 으로 제작하고 cycle에 따른 충방전 조건을 전류밀도 0.5 mA/cm²의 정전류로 3.5~5.2 V 범위에서 수행하여 각 합성조건의 변화에 따른 전기화학적 특성을 관찰하였다.

Fig 4. 은 이 같은 전기 화학적 조건으로 사이클의 진행에 따른 방전용량의 변화에 대한 충방전 실험 결과이다.

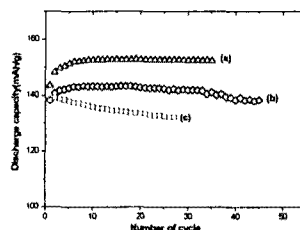


Figure 4. Variation of the specific discharge capacity with the number of cycles for $\text{Li}/\text{LiMxNi}0.5-x\text{Mn}1.5\text{O}_4$ cell calcinated $\text{M}=(\text{a})\text{Cr}0.1$, (b) $\text{Fe}0.1$, (c) $\text{V}0.1$ at 900°C calcination.

Chromium을 도핑한 물질 Figure 4(a)의 경우 초기 방전 용량 152mAh/g의 고용량을 가지며 35번째 사이클 후까지도 초기 용량의 100%를 유지함을 알 수 있다. Iron을 도핑한 물질 figure 4(b)의 경우, 20번째 사이클까지는 초기 방전 용량을 유지하였으나 20번째 사이클 후 사이클이 진행됨에 따라 소폭

의 용량감소를 보여 초기 방전용량 143mAh/g에서 45번째 방전 용량 138mAh/g으로 초기 방전 용량의 97%를 보였다. 비록 사이클이 진행됨에 따라 소폭의 용량감소를 보이지만 상업화되어 사용되고 있는 LiCoO₂가 가진 520Wh/kg보다 큰 640Wh/kg의 에너지 밀도를 가진다. Vanadium 도핑 시료의 경우, figure 4(c)는 다른 도핑 합성물질에 비해 139mAh/g의 상대적으로 낮은 초기 방전 용량과 28사이클후의 방전용량이 132mAh/g으로 지속적인 용량감소를 보이고 있다.

이 같은 실험 데이터를 바탕으로 Mn 이온에 치환되는 전이금속의 도핑량 변화에 따른 물리화학적, 전기 화학적 특성을 알아 보았다.

Fig. 5는 도핑량 변화에 따른 LiNi0.5-xMxMn1.5O₄ 스피넬 양극 활물질의 구조분석 결과이다. Cr-Ni 멀티 도핑 활물질의 경우, Cr의 도핑량이 0.1~0.3 까지 순수한 큐비상의 스피넬상을 이루고 있다. 그러나, V-Ni 멀티 도핑 활물질의 경우, V의 도핑량이 증가함에 따라 불순물 피크가 증가하여 비가역적인 반응이 발생하여 전지 성능이 저하될 것이다. Fig 6.는 LiNi0.5-xMxMn1.5O₄ 합성 물질의 전기 화학적 특성을 보기 위하여 충·방전 실험을 한 결과이다. Cr 도핑 시료의 경우, LiNi0.4Cr0.1Mn1.5O₄ 활물질 fig 6(a).은 152mAh/g의 고용량을 보이며 35사이클까지 초기 방전 용량을 100% 유지함을 알 수 있다. Cr 도핑량이 0.2인 LiNi0.3Cr0.2Mn1.5O₄ 활물질 fig 6(b). 또한 147mAh/g의 방전용량을 100%유지하는 우수한 사이클 특성을 보인다. V 도핑 시료의 경우, 도핑량이 0.2인 LiV0.2Ni0.3Mn1.5O₄ 활물질 fig 4(e).는 도핑량이 0.1인 fig 6(d).의 초기 방전 용량 140mAh/g에 비해 초기 방전이 123mAh/g으로 작으나, 우수한 사이클 수명을 보인다.

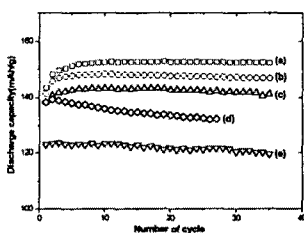


Figure 6. Variation of the specific discharge capacity with the number of cycles for Li/LiMxNi0.5-xMn1.5O₄ cell calcinated (a) Cr0.1, (b) Cr0.2, (c) Cr0.3 (d) Fe0.1 (e) V0.1 (f) VO3

at 900°C in air for 15hr.

3. 결론

Sol-gel법으로 합성한 3 V급 양극 스피넬 활물질 LiSe0.4Mn1.6O₄은 3 V 영역에서 LiMn₂O₄가 겪고 있는 용량 감소 없이 우수한 사이클 특성을 보인다. 이 같은 연구결과는 우리가 계획했던 연구 의도를 충족시켜 주는 결과로서, 3 V의 낮은 전위를 요하는 전지의 양극 활물질로서 3 V영역에서의 Jahn-teller distortion에 의한 용량감소를 극복하고 100mAh/g의 방전용량을 장기 사이클동안 100% 유지하는 우수한 전지 성능을 보여준다. 5 V급 스피넬의 경우, 현재까지 국외에서 보고되어진 5 V급 양극 활물질 재료로서 LiCr_xMn_{2-x}O₄, LiFe_xMn_{2-x}O₄ 등과 같은 합성물질들은 저용량과 용량 감소 등으로 실용화에 문제점을 안고 있다. 본 연구에서는 이 같은 문제점들을 해결하고자 멀티 도핑이라는 새로운 합성법을 도입하여 결정성이 우수한 5 V급 양극 활물질을 합성하였다. 전기 화학적 테스트 결과, LiNi0.4Cr0.1Mn1.5O₄ 스피넬 양극 활물질 152mAh/g의 고용량과 고에너지 밀도를 가지며 우수한 사이클 특성을 보였다. 이 같은 연구 결과는 과학적 측면에서 아직까지 국내외에서 보고되지 못한 획기적인 결과이다. 상업적인 면에서도 고에너지·출력밀도, 장수명의 고성능으로 전자·정보통신, 전기 자동차 및 대형전력 저장 산업발전에 기여할 수 있으며, Mn 계열의 5 V급 양극 활물질로서 Mn과 Ni 같은 저렴한 가격의 원소를 이용하여 가격적 우월성을 바탕으로 세계시장을 무대로 국제 경쟁력을 확보하게 될 것이다.

4. 참고문헌

- [1] Y. K. Sun and I. H. Oh, J. Power Sources 94 (2001) 132
- [2] Y. K. Sun, J. Applied Electrochemistry 31 (2001)
- [3] S. H. park, K. S. Park, Y. K. Sun and K. S. Nahm, J. Electrochem. Soc. 147 (2000) 2116
- [4] Y. K. Sun, Y. S. Jeon and H. J. Lee, Electrochem. & Solid-state Lett. 3 (2000) 7.
- [5] Y. S. Lee and M. Yoshio, J. Electrochem. Solid-State Lett. 4 (2001) A155
- [6] S. H. Kang and J. Goodenough, J. Electrochem. Soc. 147 (2000) 3621
- [7] Y. K. Sun, Electrochim. Comun. 2 (2000) 6
- [8] Y. S. Lee, N. Kumada and M. Yoshio, J. Power sources. 96 (2001) 376